

บรรณานุกรม

เพ็ญศรี ทองนพเนื่อ. เคมีวิเคราะห์เชิงไฟฟ้า. สำนักพิมพ์แห่งจุฬาลงกรณ์มหาวิทยาลัย, 2549.

Aravamudhan, S., Kumar, A., Mohapatra, S., and Bhansali, S. (2007) Sensitive estimation of total cholesterol in blood using Au nanowires based micro-fluidic platform, *Biosensors and Bioelectronics* 22, 2289-2294.

Arya, S. K., Prusty, A. K., Singh, S. P., Solanki, P. R., Pandey, M. K., Datta, M., and Malhotra, B. D. (2007) Cholesterol biosensor based on N-(2-aminoethyl)-3-aminopropyl-trimethoxysilane self-assembled monolayer, *Analytical Biochemistry* 363, 210-218.

Charpentier, L., and Murr, N. E. (1995) Amperometric determination of cholesterol in serum with use of a renewable surface peroxidase electrode, *Analytica Chimica Acta* 318, 89-93.

Devadoss, A., Palencsar, M. S., Jiang, D., Honkonen, M. L., and Burgess, J. D. (2005) Enzyme Modification of Platinum Microelectrodes for Detection of Cholesterol in Vesicle Lipid Bilayer Membranes, *Analytical Chemistry* 77, 7393-7398.

Li, J., Peng, T., and Peng, Y. (2003) A Cholesterol Biosensor Based on Entrapment of Cholesterol Oxidase in a Silicic Sol-Gel Matrix at a Prussian Blue Modified Electrode, *Electroanalysis* 15, 1031-1037.

Nakaminami, T., Ito, S.-i., Kuwabata, S., and Yoneyama, H. (1999) Amperometric Determination of Total Cholesterol at Gold Electrodes Covalently Modified with Cholesterol Oxidase and Cholesterol Esterase with Use of Thionin as an Electron Mediator, *Analytical Chemistry* 71, 1068-1076.

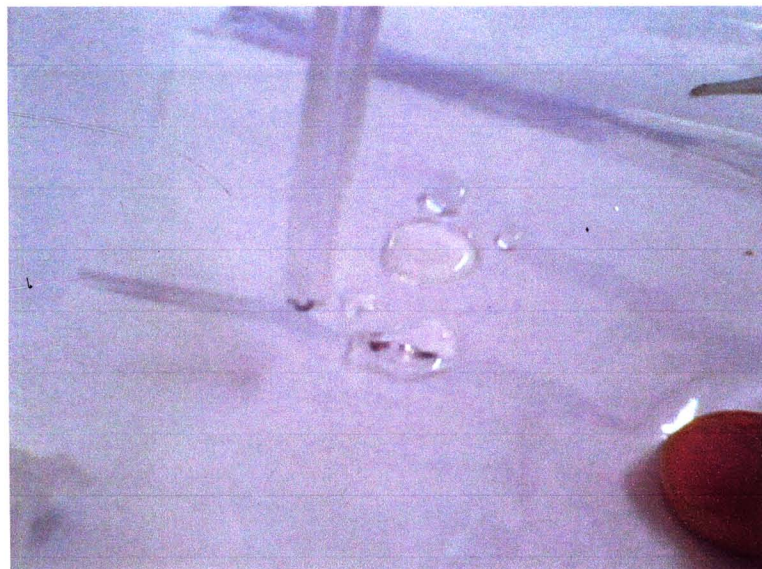
Nakaminami, T., Kuwabata, S., and Yoneyama, H. (1997) Electrochemical Oxidation of Cholesterol Catalyzed by Cholesterol Oxidase with Use of an Artificial Electron Mediator, *Analytical Chemistry* 69, 2367-2372.

Ozer, B. C., Ozyoruk, H., Celebi, S. S., and Yıldız, A. (2007) Amperometric enzyme electrode for free cholesterol determination prepared with cholesterol oxidase immobilized in poly(vinylferrocenium) film, *Enzyme and Microbial Technology* 40, 262-265.

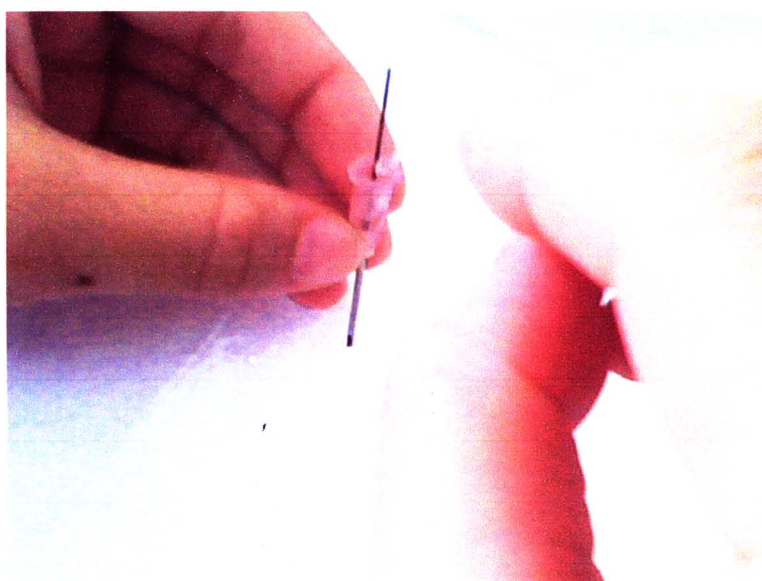
- Preechaworapun, A., Ivandini, T. A., Suzuki, A., Fujishima, A., Chailapakul, O., and Einaga, Y. (2008) The development of amperometric immunosensor using boron-doped diamond with poly (*o*-aminobenzoic acid), *Analytical Chemistry* 80, 2077-2083.
- Shen, J., and Liu, C.-C. (2007) Development of a screen-printed cholesterol biosensor: Comparing the performance of gold and platinum as the working electrode material and fabrication using a self-assembly approach, *Sensors and Actuators B* 120, 417-425.
- Shumyantseva, V. V., Carrara, S., Bavastrello, V., Riley, D. J., Bulko, T. V., Skryabin, K. G., Archakov, A. I., and Nicolini, C. (2005) Direct electron transfer between cytochrome P450sc& and gold nanoparticles on screen-printed rhodium-graphite electrodes, *Biosensors and Bioelectronics* 21, 217-222.
- Song, M.-J., Yun, D.-H., Jin, J.-H., Min, N.-K., and Hong, S.-I. (2006) Comparison of Effective Working Electrode Areas on Planar and Porous Silicon Substrates for Cholesterol Biosensor, *Japanese Journal of Applied Physics* 45, 7197-7202.
- Vidal, J.-C., Espuelas, J., and Castillo, J.-R. (2004) Amperometric cholesterol biosensor based on in situ reconstituted cholesterol oxidase on an immobilized monolayer of flavin adenine dinucleotide cofactor, *Analytical Biochemistry* 333, 88-98.
- Vidal, J.-C., Garcia, E., and Castillo, J.-R. (2002) Development of a platinized and ferrocene-mediated cholesterol amperometric biosensor based on electropolymerization of polypyrrole in a flow system, *Analytical Sciences* 18, 537-542.
- Yao, T., and Takashima, K. (1998) Amperometric biosensor with a composite membrane of sol-gel derived enzyme film and electrochemically generated poly(1,2-diaminobenzene) film, *Biosensors and Bioelectronics* 13, 67-73.
- Zhou, N., Wang, J., Chen, T., Yu, Z., and Li, G. (2006) Enlargement of Gold Nanoparticles on the Surface of a Self-Assembled Monolayer Modified Electrode: A Mode in Biosensor Design, *Analytical Chemistry* 78, 5227-5230.

ภาคผนวก ก

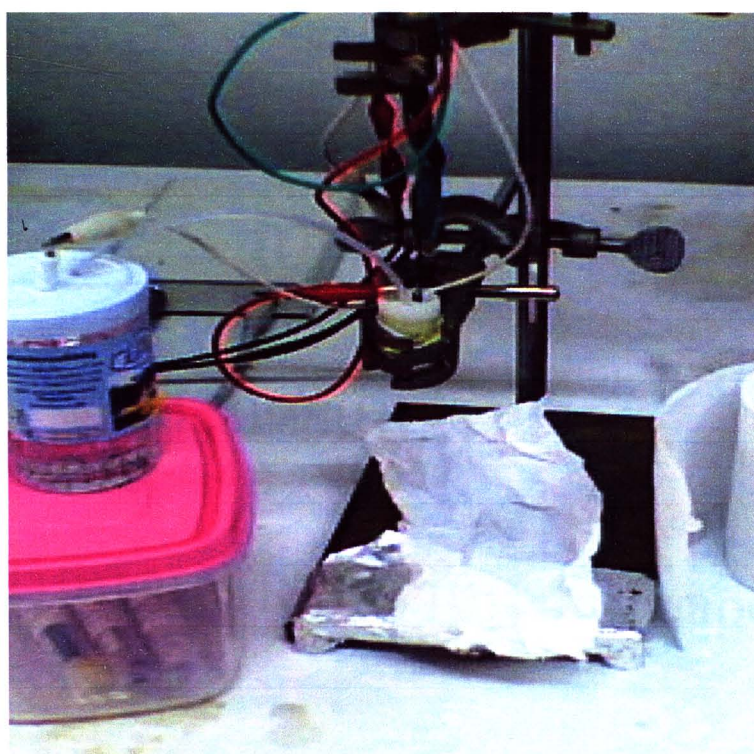
รูปการทดลอง



รูปที่ ก.1 แสดงการผสมสารละลายน้ำ Epoxy A กับ B



รูปที่ ก.2 แสดงการสร้างขั้วไฟฟ้าใช้งานได้ดีนิสso



รูปที่ ก.3 แสดงการตั้งเครื่อง Electrochemical Analyzer

ภาคผนวก ข

การเผยแพร่งานวิจัย

ไปสตอร์ RPUS และ full paper



การพัฒนาคอลอสเตอรอลไปโอลิโอดโดยใช้การตรวจวัดทางเคมีไฟฟ้า Development of cholesterol biosensor using electrochemical analysis

R62C01007

ชื่อสถานประกอบการ : -
สถานที่ตั้งผู้ประกอบการ : -

ข้อมูลทั่วไป

คอลอสเตอรอลจัดได้ว่าเป็นปัจจัยหลักทำให้เกิดโรคหัวใจ และโรคของระบบหลอดเลือด ว่าด้วยดิบทว่าที่ผ่านมาหนึ่ง ประเทศไทยมีผู้ป่วยหลอดเลือดสมองถึง 240,000 ราย คิดเป็น อัตราเฉลี่ย 27 รายทุกๆ 1 ชั่วโมง ขณะที่สัดส่วนที่ไม่สามารถรักษาได้ คือ 5 ล้านคน และภายในปี 2010 คาดว่าจะมีผู้ป่วยหลอดเลือดสมองถึง 15 ล้านคน ในจำนวนนี้มีผู้เสียชีวิต 5 ล้านคน และภายในปี 2010 คาดว่าจะมีผู้ป่วยหลอดเลือดสมองถึง 15 ล้านคน โดย ปกติแล้วการตรวจหาปริมาณคอเลสเตอรอลต้องไปตรวจที่ สถาบันประกัน康百姓มาโดยใช้เครื่องมือที่มีราคาสูง ซึ่งมีค่า ทดสอบที่ขายในประเทศไทย และใช้เวลาในการทดสอบนาน

ปัญหาโจทย์

การตรวจวัดคอลอสเตอรอลในชีรัมของเลือดเป็น ภารายมีผลร้ายแรงที่สำคัญในการวินัยโรคต่างๆ ให้ เช่น โรคหัวใจ หลอดเลือดสมอง ดีบ และหลอดเลือดแข็งด้วย จากการวินัยที่ ผ่านมาได้มีกลุ่มของนักวิจัยหลายกลุ่มที่ได้ออกแบบ biosensor, surface plasmon resonance, phosphorescence sensor, และเคมีไฟฟ้าในไปโอลิโอด (electrochemical biosensor) เพื่อตรวจวัดค่าคอเลสเตอรอลในชีรัม แต่ยังคง ให้ความไว้สูง และประมวลผลรวดเร็ว แต่ยังคงต้องมีการปรับแต่ง ที่ต้องใช้เวลาในการทดสอบนาน จึงเป็นปัญหาที่สำคัญ ที่ต้องแก้ไข



ความคิดเห็นจากนักศึกษา “ต้องที่ได้เข้าร่วมโครงการ IRPUS ทำให้ได้รับทุนการศึกษาพร้อมทั้งได้ฝึกฝนและพัฒนาทักษะ การทำงาน”

ผู้ดำเนินโครงการ : ดร.อัญญา บริหารพันธ์ : anchanaph@yahoo.com
นางสาวธิตาฉัน พัญญาครร : Thidarat_pan@hotmail.com
นายวิชานุเดช คงวิทยาศาสตร์และเทคโนโลยี มหาวิทยาลัยราชภัฏบุรีรัมย์ โทรศัพท์ 055-267106

สนับสนุนทุนวิจัยโดย สำนักงานกองทุนสนับสนุนการวิจัย (สกว.) จาก สำนักงานโครงการ IRPUS ประจำปี 2552

ชื่อโครงการ “การพัฒนาค่าผลเดอรอล์ใบโฉนดเชอร์ดอยใช้การตรวจวัดทางเคมีไฟฟ้า”

Development of cholesterol biosensor using electrochemical analysis

ມີຄວາມອຸນຫະກົດ ຂອງ ຄົວຂາ ປັບປຸງ

គ្រោងវាទុកម្មិត និងការរំលែករំលែក នៃការបង្កើតប្រព័ន្ធឌីជីថទ្ធិ

Email : sachinashah@yahoo.com

หน้า ๑๘

การเพิ่มความต่อสัมภาระของ Fe³⁺ โดยใช้การตรวจวัดการเปลี่ยนไฟฟ้า ทำการสร้างชั้นไฟฟ้าที่ทำงานเส้นรอบวง การตรวจวัดการเปลี่ยนไฟฟ้า คือชั้นไฟฟ้าได้ผลลัพธ์ที่มากจากカラ์บอร์น นิโคเลสต์เตอร์อลออกไซด์ หรือบนสารเคมีโดยไป K₄Fe(CN)₆ เป็นลักษณะเพิ่มเด่นอย่างมาก ตรวจสอบขั้นไฟฟ้าลักษณะนี้ใช้คลิกโกล์โquinone เทเรกิ สำหรับการตรวจจับ ต่อผลสัมฤทธิ์ของ พบร่วมกับ ความไวเท่ากับ 0.10294 $\mu\text{A/mm}$ ซึ่งสำคัญในการตรวจวัดเบื้องต้น 0.1 μM ช่วงความสัมพันธ์ที่เป็นคันเร่ง 0.1 μM ถึง 1.5 mM และค่าความสัมพันธ์ $R^2 = 0.9786$ คือย่างแรงที่สุดเคราะห์ให้พบร่วมกับมีความถูกต้องความ เชื่อถือของค่าผลสัมฤทธิ์ของ เบ้ากับ 0.3332 mM

Keywords: cholesterol; electrochemical biosensor; health

1. ນາກໍາ

คือสังคมเพื่อสังคมจัดตั้งขึ้นเป็นปัญญาทางลักษณะก้าวให้เกิด
โรคหัวใจ และโรคของระบบหลอดเลือด จำกัดศักยภาพร่วม
ที่ผ่านมานั้นประเทศไทยมีผู้ป่วยหลอดเลือดสมองดึง²
240,000 ราย ติดเป็นอัตราเดียวกับ 27 รายทุกๆ 1 ชั่วโมง
ขณะเดียวกันที่ตัวโภคกระบุญแต่ละปีมีผู้ป่วยหลอดเลือด
สมองดึง 15 ล้านคน ในรายงานนี้มีผู้เสียชีวิต 5 ล้านคน
และกลับมาเป็นอัมพฤกษ์อีก 5 ล้านคน พบว่าไม่เฉพาะเพศ
อ้วนเท่านั้นที่เป็นอยู่ในภาวะเสี่ยงที่พบผู้เสียชีวิตมาก
สามารถก่อตัวภาวะครอบครัวออนไลน์เสื่อมสูญได้ ตั้งแต่นั้น
การตรวจอุจจาระเพื่อหาความเสี่ยงต่อรองเริ่มประสาห์เจ็บ
เป็นสิ่งที่ควรกระทำเป็นอย่างยิ่ง โดยใช้ปิกัดแล้วการ
ตรวจหาปริมาณเควอเตสเทอร์อลต้องไปตรวจที่ห้องน้ำ
ประกอบพยาบาลโดยใช้เครื่องอัลกอริธึมราคากว้าง ยังคงไม่มีชุด³
ทดสอบที่เข้าใจในประเทศไทย และใช้เวลาในการทดสอบ
นาน ตั้งแต่เริ่งการคัดแยกผู้เสี่ยงได้พัฒนาไว้กิจกรรมการตรวจวัด
คือเควอเตสรองรับภายในโอโซนเซอร์โดยใช้เกล็ดน้ำนม
ตรวจวัดการเคลื่อนไหวที่มีการเกิดภาวะที่เกี่ยวข้อง มีความไว
คง ราคาไม่แพง และใช้เวลาในการตรวจวัดไม่นาน

抜け駆けでノンハクトヒヤクの戦闘能力をもつて、敵を攻撃する。

จากการรีบดันเข้าไฟฟ้าที่ใช้สิ่งหัวรับเป็นฐานเรืองเงินไชเม็คอลส์เทอรอลออกซิเดสมิลเลกท์ลากท์บาร์นิเดต ด้วยกัน เช่น platinum electrode (Vidal และคณะ, 2002; Ozer และคณะ, 2007; Devadoss และคณะ, 2005) glassy carbon paste electrode (Nakaminali และคณะ, 1997) screen-printed rhodium-graphite electrode (Shumyantseva และคณะ, 2005) screen-printed gold electrode (Shen และคณะ, 2007) silicon substrate electrode (Song และคณะ, 2006) indium tin oxide electrode (Arya และคณะ, 2007) และ gold electrode (Nakaminali และคณะ, 1999; Aravamudhan และคณะ, 2007) จากข่าวไฟฟ้าที่ได้กล่าวข้างต้นเป็นข่าวไฟฟ้าที่ร่าดແພງ ดังนั้นการทดลองวิจัยได้ประยุกต์นี้ให้กับผลิตภัณฑ์เครื่องหนึ่งในช่วงเวลาเดียวกันเพื่อทดสอบคุณภาพนุ่มนวลในการซื้อขายไฟฟ้า โดยคณะกรรมการวิจัยยังคงตัดสิ่งหัวรับไฟฟ้าจากชนิด HB และ 2B หลักๆ ถ้ายังมีหัวที่วางแผนตามห้องผลิตเพื่อทำข่าวไฟฟ้าที่ได้รับความนิยมมากที่สุดแล้วก็จะต้องตรวจสอบว่าหัวที่ได้รับความนิยมมากที่สุดนั้นสามารถใช้งานได้จริงหรือไม่

**2.2.2 ศึกษา $K_4Fe(CN)_6$ mediator ที่มีผลต่อ
คุณภาพของสังเกตการณ์เปลี่ยนแปลงสีของ
สารละลายที่เติมดังตารางที่ 2.2**

2. อุปกรณ์และวิธีการทดลอง

**2.1 การเตรียมข้าไฟฟ้า สั่นสะการตรวจวัดห้อง
เชื้อไฟฟ้า**

ในงานวิจัยได้เลือกจากการใช้ข้าไฟฟ้าไส้ดินหอย
ขนาดเส้นผ่าศูนย์กลาง 0.5 mm ที่หัวต่างๆ ชนิด HB
และ 2B มาสร้างเป็นข้าไฟฟ้าสำหรับงานใน micro-pipette
tip ทดสอบด้วยสารละลายน 10 mM $K_3Fe(CN)_6$ /
 $K_4Fe(CN)_6$ ในฟลูออฟลูอิฟเฟอร์ pH 7.0 เนาคันดิโซไซค์ลิก
โอลิฟท์ แอมฟาริก โดยใช้เครื่อง CHI1230A
Electrochemical Analyzer มี Pt wire เป็นข้าไฟฟ้า
ช่วย และ Ag/AgCl เป็นข้าไฟฟ้าข้างอิง ตั้งทาระมิเตอร์
ตั้งแต่ อัตรากระแสเกณฑ์ 0.1 V/s และช่วงของศักยไฟฟ้าที่
สแกนระหว่าง -0.2 ถึง 0.7 V

**2.2 หาสภาวะที่เหมาะสมสำหรับการวิเคราะห์
คุณภาพของสังเกตจากกราฟ
เปลี่ยนแปลงของสีสารละลาย**

**2.2.1 เลือก mediator ระหว่าง $K_3Fe(CN)_6$ และ
 $K_4Fe(CN)_6$ ที่มีผลต่อ H_2O_2 โดยสังเกตการ
เปลี่ยนแปลงสีของสารละลายที่เติมดังตารางที่ 2.1**

ตารางที่ 2.1 ปริมาณการเติมสารละลายเพื่อทดสอบ
การเปลี่ยนแปลงสีของ $K_3Fe(CN)_6$ และ $K_4Fe(CN)_6$
mediator

สารที่เติม	ขวดที่				
	A	B	C	D	E
0.1 M $K_3Fe(CN)_6$ หรือ $K_4Fe(CN)_6$ (mL)	1	1	1	1	1
1 M H_2O_2 (mL)	0	1	2	3	4
H_2O (mL)	4	3	2	1	0

ตารางที่ 2.2 ปริมาณการเติมสารละลายเพื่อทดสอบ
การเปลี่ยนแปลงสีของ $K_3Fe(CN)_6$ mediator ที่มีผลต่อ
คุณภาพของสังเกต

สารที่เติม	Tube ที่			
	A	B	C	D
10 mM โคเอนไซด์อเมตอล (μ L)	0	50	100	200
0.1 M $K_3Fe(CN)_6$ (μ L)	40	40	40	40
10% Triton-X 100 ใน ฟลูออฟลูอิฟเฟอร์ pH 7 (μ L)	250	200	150	50
3.1279 Unit ChOx (μ L)	10	10	10	10

**2.3 ศึกษาคุณลักษณะทางเคมีไฟฟ้าของ $K_3Fe(CN)_6$
ด้วยเทคนิคโซไซค์ลิกโอลิฟาริก**

การตรวจวัด 10 mM $K_3Fe(CN)_6$ ในฟลูออฟลูอิฟเฟอร์
บลูฟลูอิฟฟ์ 10% Triton-X 100 ที่อัตราสแกน 0.1 V/s
ด้วยข้าไฟฟ้าหางานไส้ดินหอยที่เลือกจากข้อ 2.1 มี Pt
wire เป็นข้าไฟฟ้าช่วย และ Ag/AgCl เป็นข้าไฟฟ้า
ข้างอิง และช่วงของศักยไฟฟ้าที่สแกนจาก -0.2 ถึง 0.8
V

**2.4 การวิเคราะห์คุณภาพของสังเกตด้วยเทคนิคเอม
เมป์รีเมตทริก**

ตรวจวัดคุณภาพของสังเกตด้วยเทคนิคเอมเมป์ริก
โดยรีก ไนฟลูอิฟฟ์บลูฟลูอิฟฟ์ 10% Triton-X 100
โดยตั้งค่ากึ่งไฟฟ้าคงที่ -0.7 V พัฒนาตั้งความดลลอกการ
ตรวจวัดด้วยแท่งแม่เหล็กงาน baseline คงที่ร่องเดียว
คุณภาพของสังเกต แสดงเป็นรีเมป์รีเมตทริก -0.6, -0.5, -
0.4, -0.3, -0.2, -0.1 และ 0 โนว์ต์ ตามลำดับ

2.5 การวิเคราะห์ค่าเฉลี่ยต่อรอบร่วมกับค่าเฉลี่ยต่อรอบของชีดีส์ ด้วยเทคนิคแอมป์อร์ฟิเมตริก

ตารางที่ 2 ค่าเฉลี่ยต่อรอบตัวบัญชาตินิดแอมป์อร์ฟิเมตริก ในฟอลส์ฟลัฟบ์ฟเฟอร์ของ 10% Triton-X 100 และเดิมค่าเฉลี่ยต่อรอบของชีดีส์ในสารละลาย ตั้งศักย์ไฟฟ้าคงที่ -0.7 V พร้อมกันกวนทดลองการตรวจวัดตัวบัญชาต่ง่ายและเสถียร baseline ตั้งที่จึงเดิมค่าเฉลี่ยต่อรอบ และเปลี่ยนศักย์ไฟฟ้าเป็น -0.6, -0.5, -0.4, -0.3, -0.2, -0.1 และ 0 V ตามลำดับ

2.6 การวิเคราะห์ค่าเฉลี่ยต่อรอบร่วมกับค่าเฉลี่ยต่อรอบของชีดีส์ และมี $K_4Fe(CN)_6$ เป็น mediator ด้วยเทคนิคแอมป์อร์ฟิเมตริก

ตารางที่ 3 ค่าเฉลี่ยต่อรอบตัวบัญชาตินิดแอมป์อร์ฟิเมตริก ในฟอลส์ฟลัฟบ์ฟเฟอร์ของ 10% Triton-X 100 เดิมค่าเฉลี่ยต่อรอบของชีดีส์ และ $K_4Fe(CN)_6$ mediator ลงในสารละลาย ตั้งศักย์ไฟฟ้าคงที่ -0.7 V พร้อมกันกวนทดลองการตรวจวัดตัวบัญชาต่ง่ายและเสถียร baseline ตั้งที่จึงเดิมค่าเฉลี่ยต่อรอบ และเปลี่ยนศักย์ไฟฟ้าเป็น -0.6, -0.5, -0.4, -0.3, -0.2, -0.1 และ 0 V ตามลำดับ

2.7 หาความเข้มข้นของ $K_4Fe(CN)_6$ mediator ที่เหมาะสมสำหรับตรวจวัดค่าเฉลี่ยต่อรอบ

ทำตามข้อ 2.6 ตั้งศักย์ไฟฟ้าให้ต่ำที่ -0.3 V และเติม $K_4Fe(CN)_6$ mediator ในน้ำความเข้มข้นเพิ่มก้าวเดิมที่ 0.25, 0.50, 1, 1.5, และ 2 mM ตามลำดับ

2.8 หาความสัมพันธ์ของช่วงที่เป็นเส้นตรง

ตรวจวัดช่วงความถี่พันธ์ที่เป็นเส้นตรงของค่าเฉลี่ยต่อรอบตัวบัญชาตินิดแอมป์อร์ฟิเมตริก ในฟอลส์ฟลัฟบ์ฟเฟอร์ของ 10% Triton-X 100 เดิมค่าเฉลี่ยต่อรอบของชีดีส์ และ $K_4Fe(CN)_6$ mediator ลงในสารละลาย ตั้งศักย์ไฟฟ้าคงที่ -0.3 V พร้อมกันกวนทดลองการตรวจวัดตัวบัญชาต่ง่ายและเสถียร baseline คงที่จึงเดิมค่าเฉลี่ยต่อรอบให้ความเข้มข้นต่างกันดังที่ 0.00001, 0.0001, 0.001, 0.01, 0.1, 0.5, 1, 1.5, 2, 2.5, และ 3 mM ตามลำดับ

2.9 การวิเคราะห์ค่าเฉลี่ยต่อรอบ ในผ้าอย่างหมุน

เตรียมตัวอย่างหมุนโดยปีบด้วยไส้กรองในเหลือกทากอง เติมน้ำหนาอ่อน แล้วนำไปปั่นให้เขียวหมูเนวี่ยน เป็นเวลา 10 นาที แยกส่วนที่เป็นของเหลวสีครีมเหลืองเหยียบให้แห้ง ทำการปรับปริมาตร 5 mL ด้วย 10% TritonX-100 ในฟอลส์ฟลัฟบ์ฟเฟอร์ และนำไปไว้ในภาชนะที่ด้วยเม็ดไฟฟ้าตัวบัญชาติที่เหมาะสมตัวอย่างเช่น ตัวบัญชาติไฟฟ้าตัวบัญชาติที่เหมาะสมตัวอย่าง เช่น ตัวบัญชาติไฟฟ้า Standard addition เติมสารมาตรฐานลงในตัวอย่างความเข้มข้นที่ 0.25, 0.5, 0.75 และ 1 mM ที่ศักย์ไฟฟ้า -0.3 V

3. ผลการทดลอง และอภิปรายผล

3.1 การดีเรียมชี้ไฟฟ้า สำหรับการตรวจวัดทางเคมีไฟฟ้า

ทดสอบได้เดือยที่จะใช้ชี้ไฟฟ้าคานอนจากได้ตัวอย่างจากน้ำตาลเด็ก ราดูกุ๊ก และสารกระดห้าซื้อได้ที่ร้านขายยาห้องตลาด พร้อมทั้งสามารถนำมาปะรำบุกสำหรับเป็นชุดทดลองของเด็กได้ ตัวนี้แห้ง นำไปได้ดีและสามารถเป็นชี้ไฟฟ้า และใช้เก็บน้ำใช้คลิปโอลามเมเนอริกที่ตรวจสอบคุณภาพของไฟลัมสื่อชนิด 2B และ HB ที่ห่อต่ำงกัน 5 มีห่อ คือ Rotring Pilot Faber-Castell Staedtler และ QuartoTum ในสารละลาย pH ของ 10 mM $K_4Fe(CN)_6/K_3Fe(CN)_6$ จากผลกระทบของสารเคมีสามารถให้สีสุปค่าเฉลี่ยของกระแสออกซิเดชัน (E_{ox}) และกระแสลดศักย์ (- E_{red}) ต่ำลงสีของศักย์ไฟฟ้าของปฏิกิริยาออกซิเดชัน (E_{ox}) และปฏิกิริยาเรดิคัชัน (E_{red}) และค่าความถี่ของช่วงที่ศักย์ไฟฟ้า $\Delta E_{\text{ox}} = (E_{\text{ox}} - E_{\text{red}})$ ตั้งตารางที่ 3.1 หากตารางพบว่าระหว่างชี้ไฟฟ้าได้เดือยชีโน ชนิด 2B ให้ปริมาณกระแสออกซิเดชัน และรีดักชันสูง กว่าชี้ไฟฟ้าชนิด HB ซึ่งต่ำกว่าเดือนนิยมฐานไฟฟ้าที่ร้านขายยาและค่าของกระแสออกซิเดชัน 2B มีสูงกว่าชนิด HB จึงทำให้การนำชี้ไฟฟ้าที่ได้ก้าว ตั้งแสดงใช้คลิปโอลามเมนและช่องชี้ไฟฟ้าได้ดีของชนิด 2B ได้สีสุปที่ 3.1 และเมลช่องกระแสออกซิเดชัน และรีดักชันสูงสุดในชี้ไฟฟ้าชนิด 2B คือชี้เดือยห่อ Staedtler และบังไฟต่ำ ΔE_{ox} ต่ำสุด หมายความว่าชี้ไฟฟ้าตั้งกล่าวให้การส่งผ่านของอิเล็กตรอนที่ดี ตั้งนี้จะนำไปใช้สำหรับตรวจวัดค่าเฉลี่ยต่อรอบท่อไป

ตารางที่ 3.1 แสดงผลการทดลองที่ได้จากไส้ตันคอล์ลส์ ที่หัว

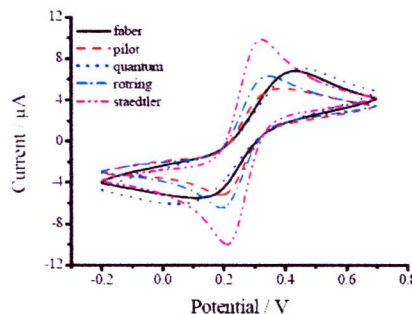
บัญชีหัว ไส้ตันคอล์ลส์	ชนิดไส้ตันคอล์ลส์	ออกซิเดชัน		ริดกอวน		ΔE_p (V)
		E_{pa} (V)	I_a (mA)	E_{pc} (V)	I_c (mA)	
Rotring	HB	0.312	1.17	0.220	-1.24	0.080
	2B	0.302	5.94	0.184	-5.02	0.178
Pilot	HB	0.381	5.06	0.196	-5.07	0.185
	2B	0.342	7.21	0.202	-7.25	0.140
Faber-Castell	HB	0.428	6.01	0.130	-5.34	0.298
	2B	0.433	6.05	0.150	-5.03	0.283
Staedtler	HB	0.361	5.72	0.192	-5.68	0.169
	2B	0.332	7.44	0.202	-7.57	0.130
Osmontum	HB	0.346	3.04	0.104	-2.41	0.242
	2B	0.443	5.73	0.181	-5.14	0.202

3.2.1 เลือก mediator ระหว่าง $K_4Fe(CN)_6$ และ $K_3Fe(CN)_6$ ที่มีผลต่อ H_2O_2 โดยสังเกตการเปลี่ยนแปลงสีของสารละลายน้ำ

ในงานเริ่มต้นได้ออกใช้ไอโอดินของ Fe เป็นตัววัดคงที่พร้อมเพิ่มสีอยู่ทางเคมีไฟฟ้า และเป็นสารที่มีสีทึบให้หายตื่นตัวของสารละลายน้ำ ดังนั้นเมื่อทำการสังเกตการเปลี่ยนแปลงสีของสารละลายน้ำที่ 3.2 โดยที่สารละลายน้ำ $K_4Fe(CN)_6$ เป็นสารละลายน้ำที่มีสีเขียวและสารละลายน้ำ $K_3Fe(CN)_6$ จะมีสีเหลือง



รูปที่ 3.2 สีของสารละลายน้ำ $0.1 \text{ M } K_4Fe(CN)_6$ (A) และ $0.1 \text{ M } K_3Fe(CN)_6$ (B)



รูปที่ 3.3 ทดสอบสีของสารละลายน้ำ $K_4Fe(CN)_6$ mediator จากการตีบสารละลายน้ำตามตารางที่ 2.1 หลังตั้งทิ้งไว้ 30 นาที

รูปที่ 3.1 ไซค์ลิกโคลาจ์โนะกรามของ 10 mM $K_4Fe(CN)_6/K_3Fe(CN)_6$ ที่ตรวจด้วยขั้วไฟฟ้าไส้ตันคอล์ลส์ ชนิด 2B ของยี่ห้อต่างๆ (Rotring Pilot Faber-Castell Staedtler และ Osmontum) ที่อัตราการสแกน 0.1 V/s

3.2 ทดสอบสีของสารละลายน้ำ $K_4Fe(CN)_6/K_3Fe(CN)_6$ โดยการสังเกตจากการเปลี่ยนแปลงของสีสารละลายน้ำ

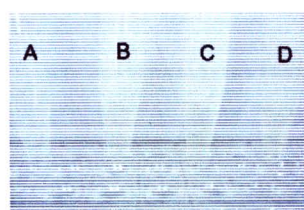


รูปที่ 3.4 ทดสอบสีของสารละลายน้ำ $K_3Fe(CN)_6$ mediator จากการตีบสารละลายน้ำตามตารางที่ 2.1 หลังตั้งทิ้งไว้ 30 นาที

ผลของ $K_4Fe(CN)_6$ mediator ที่มีต่อ H_2O_2 พบว่า จากการเพิ่มสารละลายน้ำตามตารางที่ 2.1 สำหรับสารละลายน้ำ $K_4Fe(CN)_6$ จำกัด (ตัวข้อ A) เมื่อเพิ่ม H_2O_2 สำหรับสารละลายน้ำเป็นเพียงสีเหลืองตึ้งขาวที่ B ถึง E ตามรูปที่ 3.3 ในจำนวนของ $K_3Fe(CN)_6$ mediator ก็มีผลต่อ H_2O_2 ได้ผลดังรูปที่ 3.4 สำหรับสารละลายน้ำ $K_3Fe(CN)_6$ เรื่องทันนี้มีสีเหลือง (ตัวข้อ A) และเปลี่ยนเป็นสีเขียวเมื่อเพิ่ม H_2O_2 ในขนาด B ถึง E จำกผลการทดลองในรูปที่ 3.3 และ 3.4 พบว่าการเปลี่ยนแปลงสีของ $K_3Fe(CN)_6$ จากไวนิลีนเป็นสีเหลืองสามารถถอดรหัสได้ชัดเจนกว่า การเปลี่ยนแปลงสีของ $K_3Fe(CN)_6$ ทั้งนี้เนื่องจากไวนิลีนเป็น mediator

3.2.2 ศึกษา $K_4Fe(CN)_6$ mediator ที่มีผลต่อคุณสมบัติของสารละลายน้ำและสารเคมีที่ใช้ในการเปลี่ยนแปลงสีของสารละลายน้ำ

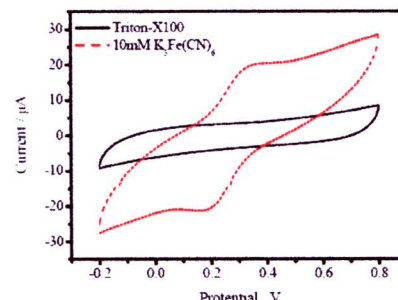
สังเกตจากการเปลี่ยนแปลงสีของสารละลายน้ำตามตารางที่ 2.2 จากรูปที่ 3.5 tube A ถึง D พบว่าเมื่อทำการเพิ่มสารเคมีต่อออลกิโนโลยีร่วมกับ $K_4Fe(CN)_6$ ขนาด 0, 1.6, 3.3 และ 6.6 mM สามารถถอดรหัสได้ว่าสีของสารละลายน้ำมีสีเหลืองข้มข้นเมื่อปริมาณสารเคมีต่อออลกิโนโลยีเพิ่มขึ้น ซึ่งให้ผลเหมือนกับผลของการศึกษา $K_4Fe(CN)_6$ mediator กับ H_2O_2 ทั้งนี้เนื่องมาจาก การกิดปฏิกิริยาของสารเคมีต่อออลกิโนโลยี กับ $K_4Fe(CN)_6$ mediator ให้เกิดสีเหลืองตึ้งขาวของสารเคมีที่ใช้เป็น mediator สำหรับตรวจสอบคุณสมบัติได้เป็นอย่างดี



รูปที่ 3.5 การเปลี่ยนแปลงของสี $K_4Fe(CN)_6$ ที่มีผลต่อการเพิ่มสารเคมีต่อออลกิโนโลยีความเข้มข้นต่างกัน เนื่องตั้งที่ 3.3 ถึง 3.6

3.3 ศึกษาคุณลักษณะทางเคมีไฟฟ้าของ $K_3Fe(CN)_6$ ด้วยเทคนิคไซคลิกโวล์ตเอมเมทรี

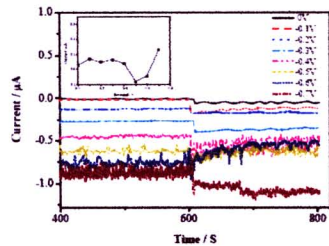
เนื่องจากผลการกิดปฏิกิริยาระหว่าง H_2O_2 และ $K_3Fe(CN)_6$ mediator ได้ผลิตภัณฑ์เป็น $K_3Fe(CN)_6$ ตั้งแต่จังต้องศึกษาคุณลักษณะทางเคมีไฟฟ้าของ $K_3Fe(CN)_6$ โดยการตรวจวัด 10 mM $K_3Fe(CN)_6$ ใน 10% Triton-X 100 ฟลูออโรสบูฟฟอร์ ด้วยเทคนิคไซคลิกโวล์ตเอมเมทรี ที่อัตรา流速 0.1 V/s ช่วงตัวอย่าง 0.2 ถึง 0.8 V ได้ผลดังรูปที่ 3.6 เกิดปฏิกิริยาออกซิเดชันที่ 0.3 V และรักษาที่ 0.2 V



รูปที่ 3.6 ไซคลิกโวล์ตเอมเมทรีของกราฟแสดงตัวอย่าง (10% Triton-X 100) และ 10 mM $K_3Fe(CN)_6$ ที่อัตรา流速 0.1 V/s การ流速 0.1 V/s

3.4 การวิเคราะห์คุณสมบัติของสารเคมีที่ใช้ในการเปลี่ยนแปลงสีของสารเคมี

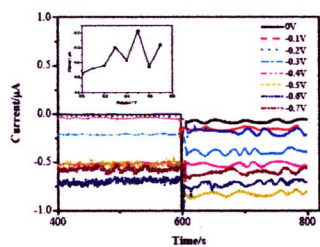
จากรูปที่ 3.7 พบว่าสารเคมีต่อออลกิโนโลยี กิดปฏิกิริยาร่วมกันได้โดยตรงแต่กราฟแสดงตัวอย่างไม่ชัดเจน ไม่สามารถใช้ตัวอย่างได้ชัดเจน แต่ตัวอย่างที่ 3.7 แสดงผลให้ความไวในการตรวจวัดต่ำ ตั้งแต่เริ่มไปทางด้านซ้ายของกราฟแสดงตัวอย่าง



รูปที่ 3.7 แมลงปอปริมาณของ การตรวจวัด คอลเลสเทอรอล กีต์ก็อกไฟฟ้าต่างๆ ทั้ง เมื่อ -0.7 ถึง 0.0 V รูปภาพเป็นกราฟแสดงความซึ่งพันธะระหว่างกรดและรีดักชันเมื่อของคอลเลสเทอรอล ($n=3$) และตักก็อกไฟฟ้าที่ -0.3 V จะใช้สำหรับการหาปริมาณคอลเลสเทอรอลต่อไป

3.5 การวิเคราะห์คอลเลสเทอรอลร่วมกับคอลเลสเทอรอลของชีเดส ด้วยเทคนิคแมลงปอปริมาณรีดักชัน

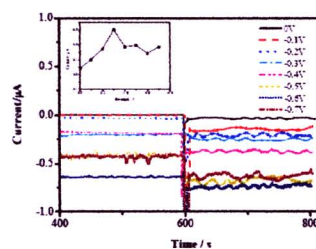
ผลแมลงปอปริมาณแสดงดังรูปที่ 3.8 พบว่า ตักก็อกไฟฟ้าในการตรวจวัดกีต์ก็อกและสูงอยู่ที่ -0.5 V



รูปที่ 3.8 แมลงปอปริมาณของ การตรวจวัด คอลเลสเทอรอลร่วมกับคอลเลสเทอรอลของชีเดส กีต์ก็อกไฟฟ้าต่างๆ ทั้ง เมื่อ -0.7 ถึง 0.0 V และรูปภาพเป็นกราฟแสดงความซึ่งพันธะระหว่างกรดและรีดักชันเมื่อ ($n=3$) กีต์ก็อกไฟฟ้าต่างๆ

3.6 การวิเคราะห์คอลเลสเทอรอลร่วมกับคอลเลสเทอรอลของชีเดส และ $K_4Fe(CN)_6$ เป็น mediator ด้วยเทคนิคแมลงปอปริมาณรีดักชัน

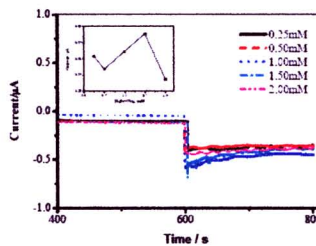
จากแมลงปอปริมาณที่ได้จากการใช้ $K_4Fe(CN)_6$ mediator เป็นตัวช่วยเรื่องการเกิดปฏิกิริยาโดยเกิดเปลี่ยน mediator พบว่ากรดและสูง กีต์ก็อกของคอลเลสเทอรอลอยู่ที่ -0.3 V ซึ่งต่ำกว่าการล่มเพาเวอร์เจลล์ไฟฟ้าที่ -0.2 V ดังนั้นตักก็อกไฟฟ้าที่ -0.3 V จะใช้สำหรับการหาปริมาณคอลเลสเทอรอลต่อไป



รูปที่ 3.9 แมลงปอปริมาณของ การตรวจวัด คอลเลสเทอรอลร่วมกับคอลเลสเทอรอลของชีเดส โดยมี $K_4Fe(CN)_6$ เป็น mediator กีต์ก็อกไฟฟ้าต่างๆ ทั้ง เมื่อ -0.7 ถึง 0.0 V และรูปภาพเป็นกราฟแสดงความซึ่งพันธะระหว่างกรดและรีดักชันเมื่อ ($n=3$) กีต์ก็อกไฟฟ้าต่างๆ

3.7 หาความเข้มข้นของ $K_4Fe(CN)_6$ mediator ที่เหมาะสมสำหรับตรวจวัดคอลเลสเทอรอล

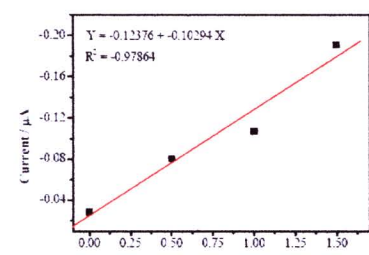
จากแมลงปอปริมาณรูปที่ 3.10 พบว่าปริมาณของ mediator กีต์ก็อกอยู่ที่ 1.5 mM เพราะให้กรดและสูง การตรวจวัดคอลเลสเทอรอลสูงสุด ตั้งนี้ใน การหาปริมาณคอลเลสเทอรอล จะเติม mediator ที่ดาวงเข้มข้น 1.5 mM



รูปที่ 3.10 ผลย่อปอร์โรมแกรมของ การตรวจวัด $K_4Fe(CN)_6$ mediator ที่ศักยไฟฟ้า -0.3 V กับความเข้มข้นของ $K_4Fe(CN)_6$ mediator ต่างๆ ทั้งหมด 0.25, 0.50, 1, 1.5, 2 mM และรูปแสดงกราฟความสัมพันธ์ระหว่างกระแสและรีดักชันเฉลี่ย กับความเข้มข้นของ $K_4Fe(CN)_6$ mediator ต่างๆ

3.8 ความสัมพันธ์ของช่วงที่เป็นเส้นตรง

จากสัญญาณย่อปอร์โรมอิเลคทริก ได้แสดงผลโดยพอกอัตกราฟความสัมพันธ์ระหว่างความเข้มข้นกับกระแสที่ได้พบว่าช่วงของความสัมพันธ์ที่เป็นเส้นตรงอยู่ที่ 0.1 μM ถึง 1.5 μM ดังรูปที่ 3.11 เป็นช่วงความสัมพันธ์ที่กว้าง ให้ความไวในการตรวจวัดอยู่ที่ 0.10294 $\mu A/mM$ และมีค่าจุดในการตรวจวัดเท่ากับ 0.1 μM

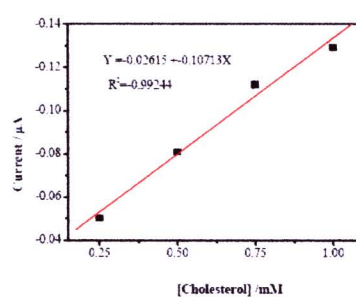


รูปที่ 3.11 กราฟความสัมพันธ์ระหว่างความเข้มข้นของคอเลสเตอรอล (0.0001, 0.5, 1.0, และ 1.5 mM) กับกระแสและรีดักชันเฉลี่ย ($n=3$) จากเกตเอดยօปอร์โรมอิเลคทริก ที่ศักยไฟฟ้า -0.3 V

3.9 การวิเคราะห์คอเลสเตอรอล ในตัวอย่าง

วิเคราะห์หาค่าคอเลสเตอรอลในตัวอย่างน้ำ ตัวอย่างเดียวกับย่อปอร์โรมอิเลคทริก และกระแสและย่อปอร์โรมแกรม ให้มาภาพแสดงความสัมพันธ์ระหว่างกระแสและกับความเข้มข้นของคอเลสเตอรอลจะได้ดังรูปที่ 3.12 จากตัวอย่างน้ำที่วิเคราะห์ได้พบว่ามีปริมาณความเข้มข้นของคอเลสเตอรอล เท่ากับ 0.3332 mM จากการ

เปรียบเทียบด้วยค่าความเข้มที่ได้จากรูปที่ 3.11 และ 3.12 จะเห็นได้ว่ามีความเข้มที่แยกต่างกันอย่างมีนัยสำคัญ ดังนั้นสามารถกล่าวได้ว่าวิธีการวินิจฉาระที่คอเลสเตอรอล ที่ได้พัฒนาเป็นกราฟแสดงความสัมพันธ์ระหว่างความเข้มของสารรับการไฟฟ้าและกระแสไฟฟ้าอย่างจริงจังที่สุด



รูปที่ 3.12 กราฟ Standard addition เมื่อแสดงความสัมพันธ์ระหว่างกระแสและรีดักชันเฉลี่ยของคอเลสเตอรอล ($n=3$) ที่ตรวจด้วยเทคโนโลยีย่อปอร์โรมอิเลคทริก ไฟฟ้าอย่างเมืองที่ศักยไฟฟ้า -0.3 V

4. สรุปผลการทดลอง

การพัฒนาค่าคอเลสเตอรอลใบโอลิเมอร์ โดยใช้การตรวจทางเคมีไฟฟ้าได้ทำการเลือกช่วงไฟฟ้าที่กว้าง สำหรับการตรวจทางเคมีไฟฟ้า โดยใช้ช่วงไฟฟ้าได้ตั้งแต่ 0.1 μM ถึง 1.5 μM ซึ่งแสดงให้เห็นได้ชัดเจนว่ากระแสอยู่ในช่วง 0.5 μM ที่ห้อง Standard ชนิด 2B เป็นช่วงไฟฟ้าที่สามารถตรวจได้สัญญาณทางเคมีไฟฟ้าสูงสุดและทำการศึกษาลักษณะที่เหมาะสมสำหรับการวิเคราะห์คอเลสเตอรอลได้ตัวอย่างที่ช่วยเพิ่มสัญญาณของคอเลสเตอรอล (mediator) คือ $K_4Fe(CN)_6$ วิเคราะห์หาปริมาณคอเลสเตอรอลด้วยเทคโนโลยีย่อปอร์โรมอิเลคทริกให้ศักยไฟฟ้าที่เหมาะสมในการตรวจวัดที่ -0.3 V มีช่วงความสัมพันธ์ที่เป็นเส้นตรง 0.1 μM ถึง 1.5 μM ความไวเท่ากับ 0.10294 $\mu A/mM$ และมีค่าจุดในการตรวจวัดเท่ากับ 0.1 μM ตัวอย่างน้ำที่วิเคราะห์ได้พบว่า

5. กิตติกรรมประกาศ

ผู้เขียนได้ขอขอบพระคุณและขอถวายเจ้าหน้าที่ กองทุนสนับสนุนการวิจัยจากโครงการ IRPUS ประจำปี 2552 ที่ได้ให้การสนับสนุนการวิจัยฯ สำหรับงานนี้ ตลอดจนเป็นเครื่องมือที่ช่วยเหลือในการดำเนินการวิจัยของอาจารย์รุ่นใหม่จาก สถาบันฯ

เอกสารอ้างอิง

- Arya, S. K.; Prusty, A. K.; Singh, S. P.; Solanki, P. R.; Pandey, M. K.; Datta, M. and Malhotra, B. D. Cholesterol biosensor based on N-(2-aminoethyl)-3-aminopropyl-trimethoxysilane self-assembled monolayer. *Analytical Biochemistry* 2007, 363, 210-218.
- Nakamihami, T.; Ito, S.-I.; Kuwabata, S. and Yoneyama, H. Amperometric Determination of Total Cholesterol at Gold Electrodes Covalently Modified with Cholesterol Oxidase and Cholesterol Esterase with Use of Thionin as an Electron Mediator. *Anal. Chem.* 1999, 71, 1068-1076.
- Vidal, J.-C.; Garcia, E. and Castillo, J.-R. Development of a platinized and ferrocene-mediated cholesterol amperometric biosensor based on electropolymerization of polypyrrole in a flow system. *Analytical Sciences* 2002, 18, 537-542.
- Ozer, B. C.; Ozyoruk, H.; Celebi, S. S. and Yildiz, A. Amperometric enzyme electrode for free cholesterol determination prepared with cholesterol oxidase immobilized in poly(vinylferrocenium) film. *Enzyme and Microbial Technology* 2007, 40, 262-265.
- Devadoss, A.; Palencsar, M. S.; Jiang, D.; Honkonen, M. L. and Burgess, J. D. Enzyme Modification of Platinum Microelectrodes for Detection of Cholesterol in Vesicle Lipid Bilayer Membranes. *Anal. Chem.* 2005, 77, 7393-7398.
- Nakamihami, T.; Kuwabata, S. and Yoneyama, H. Electrochemical Oxidation of Cholesterol Catalyzed by Cholesterol Oxidase with Use of an Artificial Electron Mediator. *Anal. Chem.* 1997, 69, 2367-2372.
- Shumyanseva, V. V.; Carrara, S.; Bavastrello, V.; Riley, D. J.; Bulko, T. V.; Skryabin, K. G.; Archakov, A. I. and Nicolini, C. Direct electron transfer between cytochrome P450_{ccc} and gold nanoparticles on screen-printed rhodium-graphite electrodes. *Biosensors and Bioelectronics* 2005, 21, 217-222.
- Shen, J. and Liu, C.-C. Development of a screen-printed cholesterol biosensor: Comparing the performance of gold and platinum as the working electrode material and fabrication using a self-assembly approach. *Sensors and Actuators B* 2007, 120, 417-425.
- Song, M.-J.; Yun, D.-H.; Jin, J.-H.; Min, N.-K. and Hong, S.-I. Comparison of Effective Working Electrode Areas on Planar and Porous Silicon Substrates for Cholesterol Biosensor. *Japanese Journal of Applied Physics* 2006, 45, 7197-7202.
- Aravamudhan, S.; Kumar, A.; Mohapatra, S. and Bhansali, S. Sensitive estimation of total cholesterol in blood using Au nanowires based microfluidic platform. *Biosensors and Bioelectronics* 2007, 22, 2289-2294.

ภาคผนวก ค

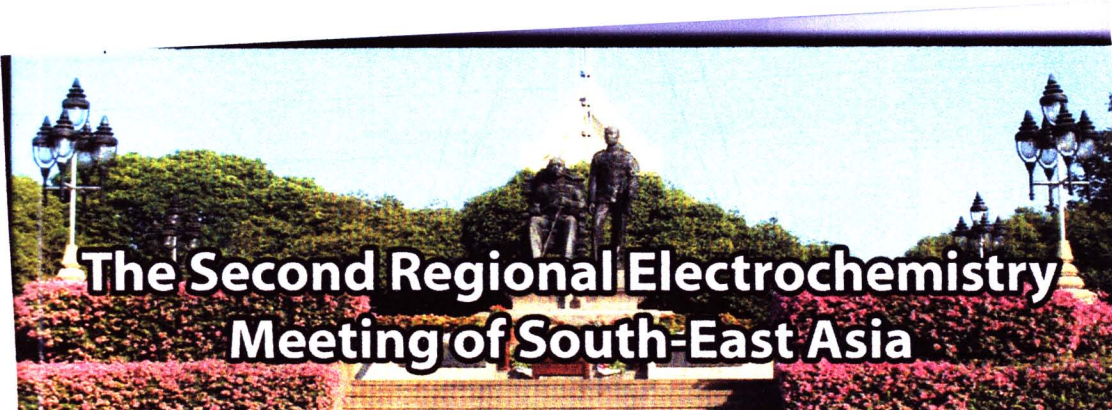
การเผยแพร่งานวิจัย

งานประชุมวิชาการระดับนานาชาติ

REMSEA 2010

- Abstract

- Poster



16-19 November 2010

Maha Chulalongkorn Building, Chulalongkorn University, Bangkok, Thailand

BOOK OF ABSTRACTS REMSEA 2010

Hosted by:



2nd REMSEA, 16-19 November 2010, Bangkok, Thailand

PB-03: Development of K₄Fe(CN)₆ Mediator Cholesterol Biosensor using Electrochemical Analysis

Thidarat Panyasi¹, Anurak Chitbuengphrao¹, Tanin Tangkuaram², Anchana Preechaworapun^{1*}

¹Chemistry and Applied chemistry Research Unit, Department of Chemistry, Faculty of Science and Technology, Pibulsongkram Rajabhat University, Phitsanulok, 65000 Thailand.

²Sensor Research Unit, Department of Chemistry, Faculty of Science, Chulalongkorn University, Bangkok 10330, Thailand.

*E-mail: anchanaph@yahoo.com, Tel: +66-55-267106



Anchana Preechaworapun
anchanaph@yahoo.com
Bioelectrochemistry

Amperometric cholesterol biosensor was developed by a low cost of pencil carbon working electrode with cholesterol oxidase (ChOx) and K₄Fe(CN)₆ mediator. The pencil carbon electrodes were characterized with cyclic voltammetric in Fe(CN)₆^{3-/4-} solution. The cholesterol oxidase and K₄Fe(CN)₆ mediator were modified in solution, which the present of K₄Fe(CN)₆ mediator enhances the sensitivity and selectivity of biosensor. The system of analysis shows a sensitivity of 0.10294 $\mu\text{A mM}^{-1}$, detection limit 0.1 μM , wide linear range from 0.1 μM to 1.5 mM and correlation coefficient of R = 0.9786. This system was applied for investigated cholesterol in milk that found cholesterol of 0.3332 mM.

Keywords cholesterol • electrochemical biosensor • milk • K₄Fe(CN)₆ mediator



DEVELOPMENT OF $K_4Fe(CN)_6$ MEDIATOR CHOLESTEROL BIOSENSOR USING ELECTROCHEMICAL ANALYSIS



Thidarat Panyasri¹, Amurak Chitbuengphrao¹, Tanin Tangkuaram², Anchana Preechaworapum^{1*}

*E-mail: anchamaph@yahoo.com, Tel: +66-55-267106

¹Chemistry and Applied chemistry Research Unit, Department of Chemistry, Faculty of Science and Technology, Pibulsongkram Rajabhat University, Phitsanulok, 65000 Thailand.

²Department of Chemistry, Faculty of Science, Maejo University, Chiang Mai 50290. Thailand

Abstract:

A low cost amperometric cholesterol biosensor was developed using a pencil carbon working electrode with cholesterol oxidase (ChOx) and a $K_4Fe(CN)_6$ mediator. The pencil carbon electrodes were characterized with cyclic voltammetry in an $Fe(CN)_6^{3-4-}$ solution. The cholesterol oxidase and the $K_4Fe(CN)_6$ mediator were modified in solution, where the presence of the $K_4Fe(CN)_6$ mediator enhanced the sensitivity and selectivity of biosensor. An analysis of the system showed a sensitivity of $0.10294 \mu A \text{ mM}^{-1}$, a detection limit of $0.1 \mu M$, a wide linear range from $0.1 \mu M$ to 1.5 mM , and a correlation coefficient of $R = 0.9786$. This system was applied to investigate cholesterol in milk, measuring a cholesterol level of 0.3332 mM .

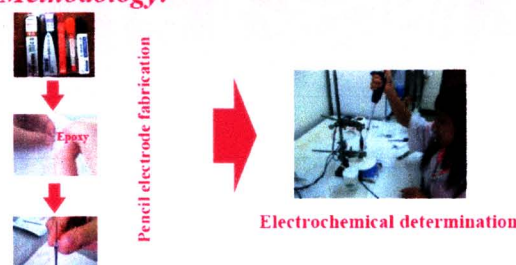
Keywords cholesterol • electrochemical biosensor • milk • $K_4Fe(CN)_6$ mediator

Introduction:

The development of a cholesterol biosensor is important due to the prevalence of atherosclerosis or heart attacks and coronary heart disease as a major health threat around the world. Thus, estimation of cholesterol in blood is very important for the treatment of heart disease. Cholesterol oxidase is a common and important enzyme used for the estimation of cholesterol concentration.

In this research, a low cost cholesterol biosensor was fabricated and electrochemical techniques were used to assess the sensor response to cholesterol.

Methodology:



Results and Discussion:

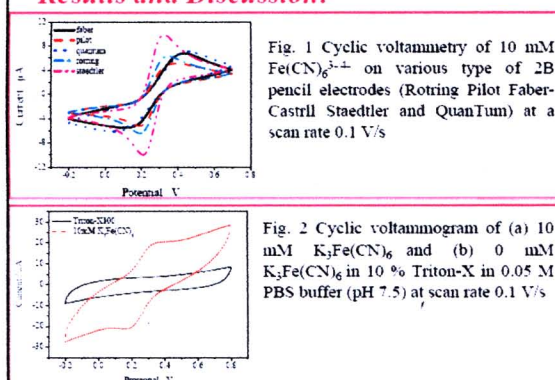


Fig. 1 Cyclic voltammetry of $10 \text{ mM } Fe(CN)_6^{3-4-}$ on various type of 2B pencil electrodes (Rotring Pilot Faber-Castell Staedtler and QuanTum) at a scan rate 0.1 V/s

Fig. 2 Cyclic voltammogram of (a) $10 \text{ mM } K_4Fe(CN)_6$ and (b) $0 \text{ mM } K_4Fe(CN)_6$ in $10 \% \text{ Triton-X}$ in $0.05 \text{ M PBS buffer (pH 7.5)}$ at scan rate 0.1 V/s

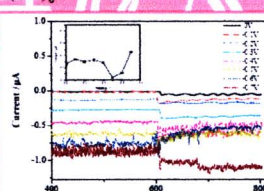


Fig. 3 Amperogram of cholesterol determination at potential -0.7 to 0.0 V and inset graph shows relative of average reduction current and potential

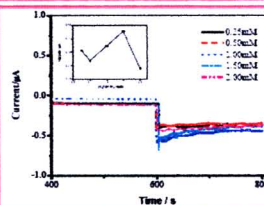


Fig. 4 Amperogram of cholesterol determination with cholesterol oxidase at potential -0.7 to 0.0 V and inset graph shows relative of average reduction current and potential

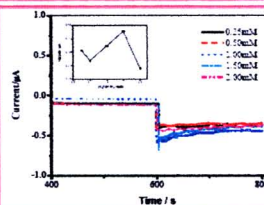


Fig. 5 Amperogram of 1mM Cholesterol in various 0.25 , 0.50 , 1 , 1.5 , and $2 \text{ mM } K_4Fe(CN)_6$ mediator and inset graph shows the relative of average reduction current and various concentration of $K_4Fe(CN)_6$ mediator

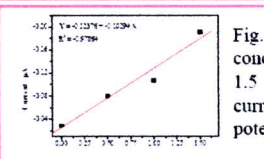


Fig. 6 Relative of cholesterol concentration (0.0001 , 0.5 , 1.0 , and 1.5 mM) with average reduction current by amperometric at the potential -0.3 V

Conclusions:

An analysis of the system showed a sensitivity of $0.10294 \mu A \text{ mM}^{-1}$, a detection limit of $0.1 \mu M$, a linear range from $0.1 \mu M$ to 1.5 mM , and a correlation coefficient of $R = 0.9786$. This system was applied to investigate cholesterol in milk, measuring a cholesterol level of 0.3332 mM .

Acknowledgments:

This research is supported by the Thailand research fund. Improvement and Development of Research in RSRU.

ประวัติผู้วิจัย

นักวิจัยหลัก

- ## 1. ชื่อ-สกุล อาจารย์ ดร. อัญชนา ปรีชาวรพันธ์

Dr. Anchana Preechaworapun

2. เลขหมายบัตรประจำตัวประชาชน 3 6500 00538 12 8

3. ตำแหน่งปัจจุบัน อาจารย์สาขาวิชาเคมี

4. หน่วยงานที่อยู่ที่ติดต่อได้สะดวก สาขาวิชาเคมี คณะวิทยาศาสตร์และเทคโนโลยี
มหาวิทยาลัยราชภัฏพิบูลสงคราม

Tel/Fax: 055-267106, 085-5011192

E-mail: anchaph@yahoo.com

5. ประวัติการศึกษา

- | | | |
|-------------|--|-----------|
| วท.บ.(เคมี) | มหาวิทยาลัยนเรศวร | พ.ศ. 2541 |
| วท.ม.(เคมี) | สถาบันเทคโนโลยีพระจอมเกล้าเจ้าคุณทหารลาดกระบัง | พ.ศ. 2545 |
| วท.ค.(เคมี) | จุฬาลงกรณ์มหาวิทยาลัย | พ.ศ. 2550 |

6. สาขาวิชาการที่มีความชำนาญพิเศษ เคมีวิเคราะห์, เคมีไฟฟ้า, ไบโอดิเซนเซอร์ (biosensor), อิมมูโนเซนเซอร์ (immunosensor)

7. ประสานการณ์ที่เกี่ยวข้องกับการบริหารงานวิจัย

ปี (ระยะเวลา) ตำแหน่ง สถานที่

- 2549 (7 เดือน) นักวิจัย Prof. Joseph Wang, Department of Chemical and Material Engineering, Chemistry and Biochemistry, Biodesign Institute, Tempe, AZ 85287-5801, United States.

2550 (6 เดือน) นักวิจัย Assoc. Prof. Yasuaki Einaga, Ph.D. Laboratory, Diamond group, Department of Chemistry, Faculty of Science and Technology, Keio University, 3-14-1 Hiyoshi, Yokohama 223-8522, Japan.

งานวิจัยที่ได้รับการตีพิมพ์

1. **Preechaworapun, A.**, Ivandini, T. A., Suzuki, A., Fujishima, A., Chailapakul, O., and Einaga, Y. Development of Amperometric Immunosensor Using Boron-Doped Diamond with Poly(o-aminobenzoic acid). *Anal. Chem.* 2008; **80**, 2077 - 2083. มี impact factor 5.287
2. **Preechaworapun, A.**, Dai, Z., Xiang, Y., Chailapakul, O., and Wang, J. Investigation of the enzyme hydrolysis products of the substrates of alkaline phosphatase in electrochemical immunosensing. *Talanta* 2008; **76**: 424-431. มี impact factor 3.374
3. **Preechaworapun, A.**, Chuanuwatanakul, S., Einaga, Y., Grudpan, K., Motomizu, S., and Chailapakul, O. Electroanalysis of sulfonamides by flow injection system/high-performance liquid chromatography coupled with amperometric detection using boron-doped diamond electrode. *Talanta* 2006; **68**: 1726-1731. มี impact factor 3.374
4. Treetepvijit, S., **Preechaworapun, A.**, Praphairaksit, N., Chuanuwatanakul, S., Einaga, Y., and Chailapakul, O. Use of nickel implanted boron-doped diamond thin film electrode coupled to HPLC system for the determination of tetracyclines *Talanta* 2006; **68**, 1329-1335. มี impact factor 3.374

นักวิจัยร่วม

- | | |
|-------------------------------------|--|
| 1. ชื่อ-สกุล | นายพิทักษ์ อุย่มี |
| | Mr. Pitak Youmee |
| 2. เลขหมายบัตรประจำตัวประชาชน | 3 6599 00691 11 2 |
| 3. ตำแหน่งปัจจุบัน | ผู้ช่วยศาสตราจารย์ |
| 4. หน่วยงานที่อยู่ที่ติดต่อได้สะดวก | สาขาวิชาเคมี คณะวิทยาศาสตร์และเทคโนโลยี
มหาวิทยาลัยราชภัฏพิบูลสงคราม |
| | Tel/Fax: 055-267106 |
| | E-mail: pitakyoume@hotmail.com |

5. ประวัติการศึกษา

วท.บ.(เคมี)	มหาวิทยาลัยเชียงใหม่	พ.ศ. 2534
วท.ม.(เคมี)	มหาวิทยาลัยเชียงใหม่	พ.ศ. 2539
วท.ค.(เคมี)	มหาวิทยาลัยเชียงใหม่	พ.ศ. 2545

6. สาขาวิชาการที่มีความชำนาญพิเศษ เกมเชิงพิสิกส์ วัสดุศาสตร์

7. ประสมการณ์ที่เกี่ยวกับการบริหารงานวิจัย

Experience : Assistant Dean for Academic Affairs, 2003-2004

Associate Dean for Academic Affairs, 2005-2007

Publications in International Journal

Youmee, P., Phanichphant, S., Ananta, S. and Heimann, R. B., Novel oxalate route to high quality iron niobate fine powders. *Ceram. Forum Int. / DKG*, 2001, **78**, E48-E51.

Phanichphant, S., Youmee, P., Kleeberg, R., Ullrich, B., Phase transformation of iron niobate powders and ceramics synthesized by oxalate route *Interceram*, 2003, 52(2), 84-88

Youmee, P., Phanichaphant, S., Ananta, S. and Heimann, R. B., Synthesis and properties of lead iron niobate (PFN). *Ceram. Forum Int. / DKG*, 2004, **81**(11), E35-E41.

Publications in National Journal

Youmee, P., Tunkasiri, T., Rujijanagul, G. and Phanichaphant, S., Synthesis of barium titanate powders by sol-gel method. *J. Sci. Fac.CMU.*, 2000, **27**(1) 14-23.

Youmee, P., Ananta, S. and Phanichaphant, S., Microstructure of lead iron niobate powders synthesized by partial oxalate *J. E. M. S. T.*, 2002, **16**, 125-126.

Youmee, P., Ananta, S. and Phanichaphant, S., SEM and XRD investigations of effect of sintering time on phase and morphology of iron niobate ceramic. *J. E. M. S. T.*, 2001, **15**, 93-94.

Youmee, P. and Phanichaphant, S., Characterization of perovskite lead iron niobate powders synthesized by partial oxalate. *J. Sci. Fac.CMU.*, 2005, **32**(1) 71-76.

Proceedings from international conferences

Youmee, P., Rujijanagul, G., Ananta, S. and Phanichaphant, S., Phase and morphology investigation of BaTiO₃ powders prepared by a sol-gel route. *7th Asia-Pacific Electron Microscopy Conference, Singapore*, 26-30 June 2000.

Youmee, P., Ananta, S. and Phanichaphant, S., Microstructure of lead iron niobate powder synthesized by partial oxalate. *3rd ASEAN Microscopy Conference and 19th Annual Conference of Electron Microscopy Society of Thailand*, 30-1 February 2002.

Youmee, P., Ananta, S. and Phanichaphant, S., Characterization of perovskite lead iron niobate powders synthesized by partial oxalate method. *The 8th International Conferences on Ceramic Processing Science, Germany*, 2-5 September 2002.

Youmee, P., and Phanichaphant, S., XRD and SEM studies of fine powders lead iron niobate synthesized by partial sol gel route. *Smart Material 04 of Thailand*, 1-3 December 2004.

Proceedings from conferences in Thailand

Youmee, P., Ananta, S. and Phanichaphant, S., Novel oxalate route to iron niobate fine powders. *26th Congress on Science and Technology of Thailand, Bangkok*, 2000, 107.



Youmee, P., Ananta, S. and Phanichaphant, S., Partial oxalate route to lead iron niobate powders. 27th Congress on Science and Technology of Thailand, SongKha, 2001, 135.

Youmee, P., Ananta, S. and Phanichaphant, S., Lead iron niobate powders synthesized by oxalate route. 28th Congress on Science and Technology of Thailand, Bangkok, 2002,

Youmee, P., Caungtong, G. and Phanichaphant, S., Sol gel route to iron niobate fine powders. 30th Congress on Science and Technology of Thailand, Bangkok, 2004,

Youmee, P. and Phanichaphant, S., Synthesis and characterization of iron niobate nanopowders by sol gel method. 31th Congress on Science and Technology of Thailand, Nakhon Ratchasima, 2005.

Visiting Research/Training/Academic Collaboration

Training on Teaching Chemistry, during March 10 - May 15, 2003 at University of Technology, Sydney (UTS), Australia, sponsored by Pibulsongkram Rajabhat University.

Books

“Physical Chemistry 1”, Pitak Youmee (223 pages), Faculty of Science and Technology, PSRU, 2004 [in Thai].

“Physical Chemistry Laboratory”, Pitak Youmee (60 pages), Faculty of Science and Technology, PSRU, 2005 [in Thai].

“Kinetic Chemistry”, Pitak Youmee (75 pages), Faculty of Science and Technology, PSRU, 2006 [in Thai].

Grants Awarded

1. Preparation of high purity SiO₂ from rice husk in Phitsanulok, grant awarded from Pibulsongkram Rajabhat University (PSRU)
2. Synthesis and characterization of lead iron niobate nanopowders by partial oxalate method, awarded from Pibulsongkram Rajabhat University (PSRU)

